

# 基于卫星影像数据的土地利用变化检测系统

## 1. 数据收集

考虑数据可达性与，选择采用Google Earth Engine (GEE) [1]作为开发平台。其基于Google公司，提供多种免费遥感影像数据集，分辨率较为优秀，同时提供时间序列遥感影像，便于分析变化检测。常用数据集包括：

- Landsat系列 (TM/ETM+/OLI)** [2]: 美国USGS/NASA联合任务，自1972年起观测地表。当前的Collection 2数据为**30米**多光谱分辨率（L8亦有15米全色波段、100米热红外），全球每约16天重访一次。适用于长期土地覆被变化监测和统计。
- Sentinel-2**[3]: 欧空局 (ESA) 任务，搭载13个波段的多光谱仪。可见光和近红外波段分辨率**10米**，红边及短波红外**20米**，大气校正波段**60米**。两星组合重访周期可达5天，用于高精度植被、农作物和土地覆被分类。
- Sentinel-1 (SAR)**[4]: ESA C波段 (5.4 GHz) 合成孔径雷达，单极化或双极化 (VV、VH等)，分辨率可达**10米**，6天重访。全天候观测能力使其在洪水、湿地和森林监测中很有价值。
- MODIS (Terra/Aqua)**[5]: 美国NASA的中分辨率传感器，覆盖36个波段，包括可见光、红外和热红外，分辨率**250米/500米/1000米**，每1-2天覆盖全球一次。MODIS产品（如16日合成NDVI、全球地表覆盖图MCD12Q1等）可用于大尺度植被指数和土地覆盖变化分析。
- 其他数据**: 如高分辨率商业卫星 (PlanetScope等)、航空摄影或无人机影像等可补充验证，但需手动导入；GEE也内置全球DEM、气候和土地覆被图层，可辅助分析。

下表总结了主要数据源数据基本信息：

卫星/传感器	空间分辨率 (米)	主要波段 (范围)	重访周期	应用示例
Landsat-8/9	30 (MS) /15 (PAN) /100 (TIR)	可见光-近红外 (0.43–2.29μm)、热红外	~16天	长时序土地覆盖变化、植被指数
Sentinel-2	10/20/60	可见光-近红外 (0.44–0.83μm)、红边/短波红外	5天 (双星)	精细农作物分类、城市扩张监测
Sentinel-1	10–40 (SAR)	C波段雷达极化 (VV/VH/HV/HH)	6天	全天候变更检测 (洪水、森林)
MODIS	250/500/1000	36波段 (可见光至热红外)	1–2天	全球植被监测、土地覆被产品

使用GEE，可以调用 `ee.ImageCollection()` 方法获取指定时间序列范围全部遥感图像，以Sentinel-2为例：

```
// 设定范围和缩放级别
var geometry = ee.FeatureCollection('users/huiengine/test_roi')
Map.centerObject(geometry,16);

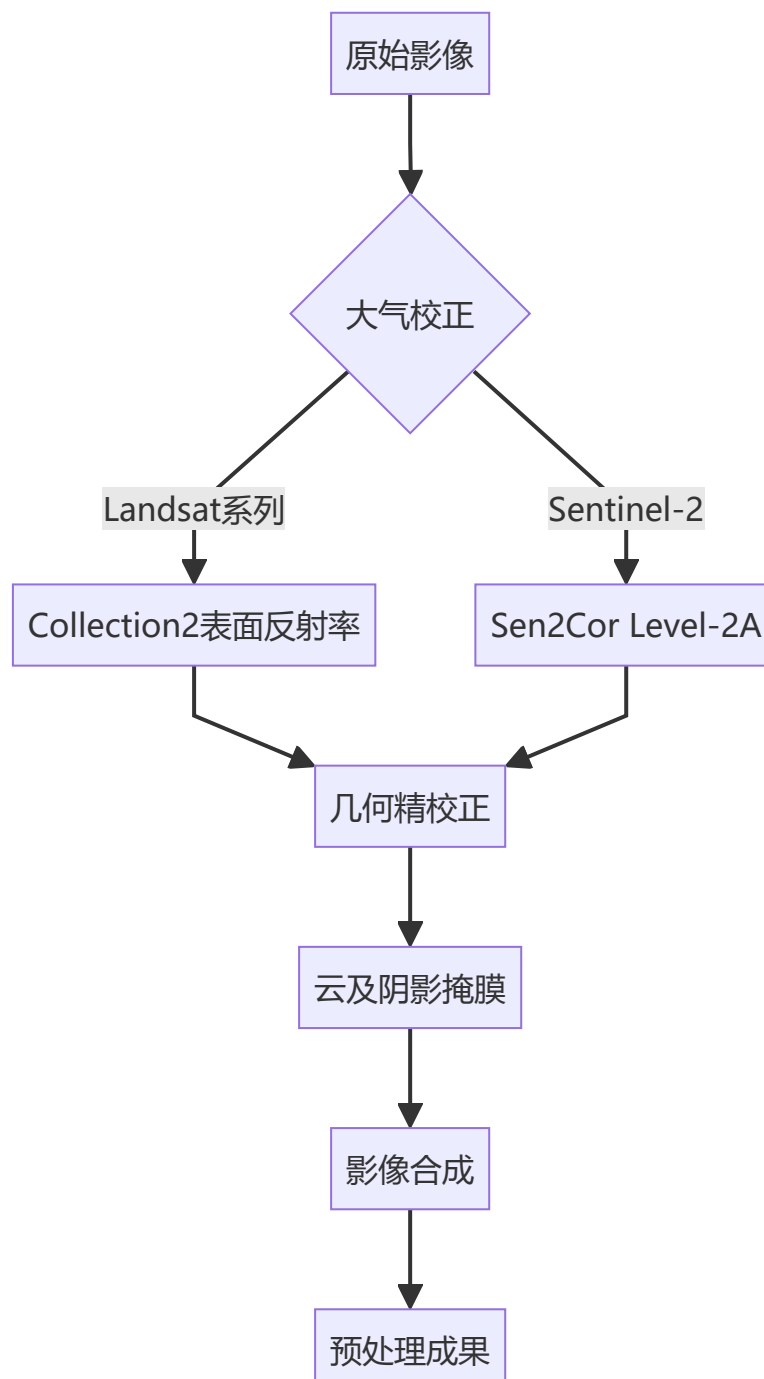
// 获取图像集合
var collection = ee.ImageCollection('COPERNICUS/S2_SR')
  .filterDate('2020-01-01', '2023-12-31')
  .filterBounds(geometry);
```

## 2. 数据预处理

在分析前，需要对影像进行预处理。

### 2.1 标准化处理框架

标准化处理框架如下图所示，需要经过大气校正、几何校正、去云、阴影掩膜等。



## 2.2 关键处理步骤详解

### 1. 大气校正

卫星类型	处理方法	GEE实现代码片段
Landsat-8/9	调用Collection2表面反射率产品，已集成LEDAPS大气校正算法	<code>ee.Image('LANDSAT/LC08/C02/T1_L2')</code>
Sentinel-2	采用Sen2Cor处理器生成的Level-2A数据，包含地形辐射校正	<code>ee.Image('COPERNICUS/S2_SR')</code>
MODIS	使用MOD09GA陆表反射率产品	<code>ee.Image('MODIS/006/MOD09GA')</code>

### 2. 几何校正

校正类型	实施方式	精度指标
系统级校正	数据提供商已完成地形校正（SRTM DEM）	误差<12m（CE90）
精细配准	对特殊区域采用GCP控制点人工校正： - 选取道路交叉点/建筑物顶点作为基准点	误差<0.5像素

### 3. 云及噪声掩膜

对于不同的模态数据，可以选择不同掩膜技术组合方案，具体有如下：

卫星平台	掩膜方法	适用场景
Landsat	<code>simpleCloudScore</code> 算法+QA波段联合判读	中低云量区域
Sentinel-2	SCL场景分类层+s2cloudless概率图双阈值过滤	高精度云检测
MODIS	状态标志位(StateQA)与云置信度联合判定	快速大区域处理

## 2.3 质量评估指标

评估维度	检测方法	合格标准
云残留率	人工验证100个随机点云掩膜效果	≤3%
几何精度	与Google Earth高清影像进行同名点比对	RMSE<0.5像素
辐射一致性	计算相邻影像重叠区波段相关性	R²>0.85
时相完整性	统计季度合成影像有效像元占比	≥95%

## 2.4 预处理可视化

可以通过以下几张图片进行组合可视化，直观展示预处理效果：

- (a) 原始影像（云污染严重）
- (b) 云掩膜结果（红色为被剔除区域）

- (c) 中位数合成影像（无缝衔接）
- (d) 辐射校正前后光谱曲线对比（消除大气吸收峰）

### 3. 特征工程

从预处理后的影像中提取分类所需特征。在多光谱维度上常用的光谱指标包括NDVI (Normalized Difference Vegetation Index)、NDWI (Normalized Difference Water Index)、NDBI (Normalized Difference Built-up Index) 等，用于区分植被、水体、裸土和建筑区。

除了光谱指数，还可计算光谱波段的统计特征（如各波段均值、方差）和纹理特征。典型做法是基于灰度共生矩阵提取纹理参数，如均值、标准差、同质性、对比度、熵等。例如，表中研究中提取了各光谱波段的平均值和标准差，以及NDVI、NDWI、NDBI等指标，同时计算各波段对应的GLCM纹理特征。此外，可利用PCA提取影像的主成分作为特征，以减少冗余。综合这些光谱和纹理特征作为输入，可显著提高土地利用类型之间的可分性。

#### 3.1 多维度特征体系

##### 3.1.1 光谱特征

主要计算有如下公式，其基于波段反射率值计算，在GEE平台上，这些指数可用波段代数直接实现，如 `normalizedDifference`、`expression` 等函数：

- **归一化植被指数NDVI**:  $NDVI = \frac{NIR - Red}{NIR + Red}$ ，强调自然植被区。
- **归一化建筑指数NDBI**:  $NDBI = \frac{SWIR - NIR}{SWIR + NIR}$ ，强调人工建筑区。
- **归一化水体指数NDWI**:  $NDWI = \frac{Green - NIR}{Green + NIR}$ ，强调水体。
- **土地表面温度LST**: 利用热红外波段计算。首先将热红外辐亮度  $L$  转换为亮温  $BT$ ， $BT = \frac{K_2}{\ln(K_1/L)+1}$ （ $K_1, K_2$  为传感器定标常数），然后根据地表发射率  $\epsilon$  计算  $LST$ ， $LST = \frac{BT}{1 + (\lambda BT/c_2) \ln \epsilon}$ ，其中  $\lambda$  为发射波长、 $c_2 = 1.4388 \times 10^4 \mu m \cdot K$ 。
- **增强型植被指数EVI**:  $EVI = 2.5 \times \frac{NIR - Red}{NIR + 6 \times Red - 7.5 \times Blue + 1}$
- **土壤调节植被指数SAVI**:  $SAVI = \frac{NIR - Red}{NIR + Red + L} \times (1 + L)$ ，通常取校正因子  $L = 0.5$ 。

##### 3.1.2 统计特征

特征类别	计算方法	作用
波段均值	单波段像元值平均值	反映区域整体光谱强度
波段方差	单波段像元值标准差	表征地物内部异质性
极差统计	(最大值 - 最小值)/均值	检测异常值/突变边界
分位数特征	25%/50%/75%分位数统计	描述光谱分布形态

##### 3.1.3 纹理特征

基于灰度共生矩阵（GLCM）的纹理参数提取同样可以基于python实现。包括如下部分：

纹理参数	物理意义	典型应用场景
对比度	局部灰度变化强度	建筑与自然地表区分
同质性	灰度分布均匀性	农田地块边界识别

纹理参数	物理意义	典型应用场景
熵值	纹理复杂程度	森林与灌木丛分类
相关性	空间灰度依赖关系	道路线性特征增强

### 3.1.4 时序特征

针对多时相数据的动态特征提取，主要有以下三种特征：

特征类型	计算方法	变化检测应用场景
年均值趋势	时间序列线性回归斜率	长期土地利用演变分析
季节振幅	季度最大-最小值差异	作物轮作模式识别
突变点检测	CUSUM算法检测时序突变	突发性土地覆盖变化预警

### 3.1.5 空间特征

空间特征同样是遥感影像分析中较为重要的特征，主要有如下几种：

特征类型	提取方法	作用
形态学特征	开运算/闭运算处理	消除椒盐噪声
空间上下文	CRF（条件随机场）建模	提升分类结果空间一致性
对象特征	基于eCognition的多尺度分割	地块级分类优化

## 3.2 特征优化策略

可以通过降维处理，将提取到的高维特征进行降维，进而获取更加高级语义层面的特征。

方法	实施步骤	效果
PCA主成分分析	1. 计算协方差矩阵 2. 特征值排序 3. 保留前3-5个主成分	消除波段间冗余信息
随机森林	1. 训练初步分类器 2. 输出特征重要性排名 3. 筛选Top20特征	去除噪声特征

## 3.3 特征可视化

通过特征可视化，可以更加直观研究特征工程相关情况：

- (a) 原始真彩色合成影像
- (b) NDVI分布（红色:低植被, 绿色:高植被）
- (c) GLCM对比度（亮色:纹理复杂区域）
- (d) 时序特征热力图（暖色:变化剧烈区域）

## 4、算法选择与模型训练

在土地利用分类中，常用机器学习算法包括传统分类器和深度学习模型。

### 4.1 分类算法深度对比

在土地利用分类中，常用机器学习算法包括传统分类器和深度学习模型。随机森林（RF）和支持向量机（SVM）等经典算法易于实现，对少量样本和多类别问题表现稳定，且可以评估特征重要性；RF训练快速、不易过拟合，SVM对高维小样本具有较好泛化性。但在复杂影像场景中，卷积神经网络（CNN）因能自动学习多层次空间特征，通常能取得更高的分类精度。因此可以根据不同的要求进行权衡，选择不同的算法：

- 小样本场景：**优先采用机器学习组合，利用GEE内置 `ee.Classifier` 实现快速部署
- 高精度需求：**选用深度网络架构，支持多尺度上下文特征捕捉

### 4.2 变化检测算法选型

变化检测是很经典的遥感研究命题，具有大量的相关工作。因此比较不同的算法的效果，并且实现这些算法，根据用户需求进行选择，或者比较。

方法	精度 (F1-score)	计算效率	标注需求	典型工具链
双时相差分法	xx	极高	无	GEE Image差值
后分类比较法	xx	中	两期全标注	RF+CNN组合
变化向量分析 (CVA)	xx	高	变化阈值定义	ENVI+IDL
BIT-CDC模型	xx	中	变化区域标注	PyTorch
LandTrendr	xx	低	时序参数调试	GEE API

决策路径如下：

- 快速普查：**GEE内置 `ee.ImageCollection.getNeighborhoodChange` 实现差值检测；
- 精确制图：**采用所选的双时相深度学习模型。

### 4.3 模型训练策略

#### 4.3.1 数据划分方案

数据集	比例	用途	采样策略
训练集	60%	参数学习	分层随机抽样
验证集	20%	超参数调优	空间区块划分
测试集	20%	最终评估	独立行政区划

4.3.2 深度学习训练配置

对于不同的算法需要有不同的设置。深度学习算法的设置通常由batchsize、epoch、learningrate、lossfunction等，这些都需要进行在学习的过程中调优，选择最好的组合。

4.4 算法集成方案

可以通过混合检测框架进行算法集成：

- 1. **初筛层**：GEE云端运行LandTrendr检测年际突变点；
- 2. **精检层**：本地GPU服务器运行BIT-CDC模型识别变化区域；
- 3. **验证层**：RF分类器对变化类型进行二次校验。

5. 模型验证

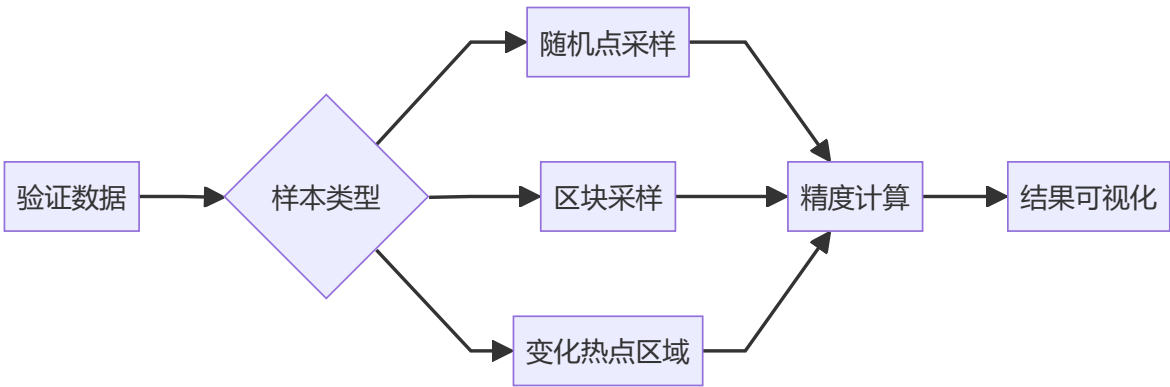
5.1 核心评估指标矩阵

指标	计算公式	物理意义	最优阈值
总体精度 (OA)	$\frac{TP+TN}{TP+TN+FP+FN}$	全局分类正确率	>85%
Kappa系数	$\frac{P_o-P_e}{1-P_e}$ ( $P_o$ :观测精度, $P_e$ :期望精度)	剔除随机一致性的真实一致性度量	>0.8
F1-Score	$\frac{2 \times Precision \times Recall}{Precision + Recall}$	类别平衡下的综合性能	>0.75
IoU	$\frac{TP}{TP+FP+FN}$	变化检测中斑块重叠度评估	>0.6

通过交叉验证或独立验证集计算这些指标，可判断模型性能及错误类型分布，从而指导后续改进。若发现混淆严重的类别，可追加样本或调整特征，对应调整、优化模型。

5.2 多维度验证方法

5.2.1 分层验证策略



5.2.2 空间交叉验证

验证模式	实施方法	优势
随机分割	全区域随机划分训练/验证集	评估全局泛化能力
空间分块	按经纬度网格划分独立验证区	检测空间自相关性影响
时间外推	用历史数据训练，未来数据验证	验证时序预测能力

5.3 混淆矩阵深度分析

通过建立混淆矩阵，对于不同的类别的变化情况进行分析。

5.4 验证质量保障措施

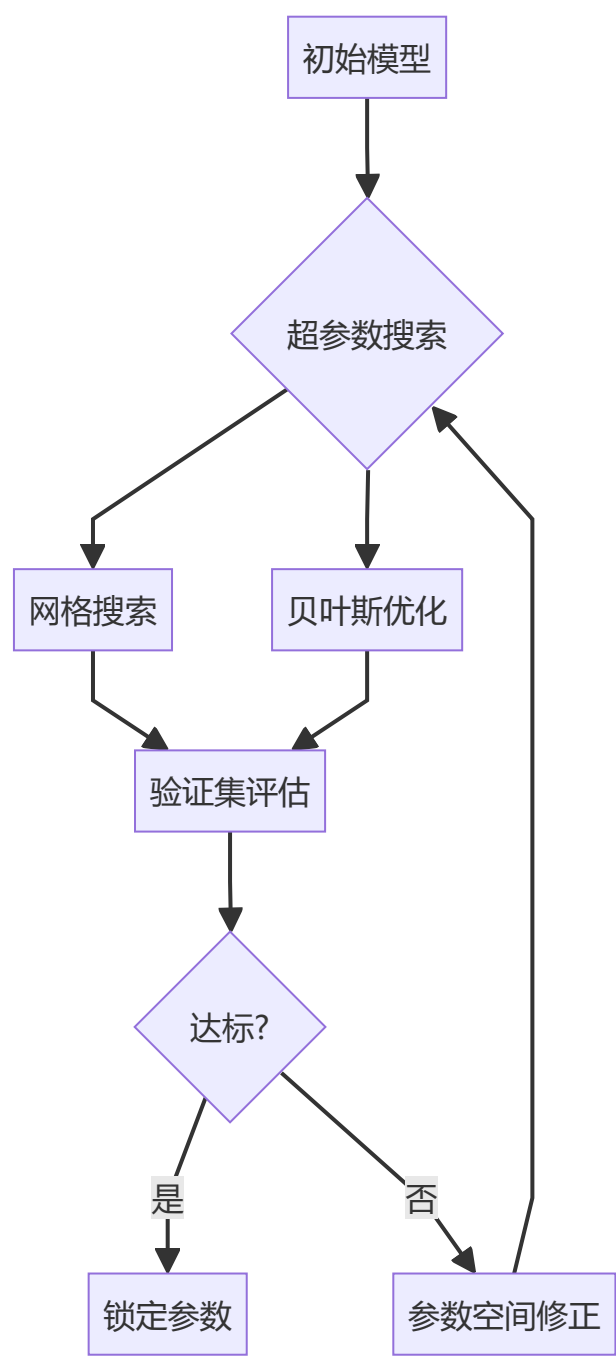
措施类型	具体实施方法	质量控制标准
样本均衡性	采用分层抽样确保每类≥100个验证点	类别样本量差异<20%
空间代表性	按1%密度均匀布设验证格网	覆盖率>95%行政区划
时效性验证	对比季度验证结果波动率	季度精度波动<3%
野外核查	使用ArcGIS Field Maps采集地面验证点	野外验证比例≥10%

6. 模型调优

为提升模型性能，需要对超参数进行调优。可采用不同方法遍历超参数空间。除了静态调优，还可采用持续学习(Continual Learning)策略：当新的训练数据或新区域数据到来时，增量更新模型，避免从头训练。通过持续迭代，模型能够不断适应多样化的地理环境。



6.1 调优框架设计



6.2 关键算法调优策略

6.2.1 传统机器学习调优

算法	核心参数	搜索范围	优化工具
随机森林	n_estimators, max_depth	[100,500], [5,30]	Hyperopt
SVM	C, gamma	[1e-3,1e3], [1e-5,1e1]	GridSearchCV

6.2.2 深度学习调优

参数类型	调优方法	典型参数范围
结构参数	网络架构搜索 (NAS)	层数[3-10], 通道[16-256]
训练参数	自适应学习率调度	lr: [1e-5,1e-3]
正则化参数	动态Dropout率	rate: [0.2-0.7]

6.3 持续学习机制

增量更新流程：

- 1. **新数据缓冲池**：每月接收GEE推送的5%新样本；
- 2. **样本筛选**：基于预测不确定性选择信息量大的样本（Entropy>0.8）；
- 3. **微调训练**：采用弹性权重巩固(EWC)算法防止灾难性遗忘。

6.4 调优效果验证

通过准确率、推理速度，内存消耗等不同的指标验证效果。

7、系统部署与监控

在GEE环境中，训练好的模型可通过 `ee.Classifier` 应用到大范围数据。

7.1 混合部署架构

组件构成：

- **云端处理层**：GEE执行数据获取、预处理、轻量级分类
- **边缘计算层**：本地GPU集群运行深度学习模型
- **存储层**：MinIO对象存储管理历史数据
- **展示层**：GeoServer发布WMTS服务

数据流：

```
GEE → Cloud Storage → Kafka → Spark → PyTorch → PostgreSQL → WebGIS
```

7.2 自动化任务调度

任务监控看板如下：

指标	监控方式	告警阈值
处理延迟	Prometheus时序数据库	>2小时
GPU利用率	NVIDIA DCGM Exporter	<30%或>90%
分类置信度	滑动窗口统计	均值下降>10%

### 7.3 异常处理机制

通过以下故障恢复策略，可以提高鲁棒性：

- 1. 断点续传：使用Checkpoint保存处理进度
- 2. 降级方案：自动切换至轻量级模型
- 3. 日志分析：ELK堆栈实时解析错误日志

可以通过以下可视化，监控界面异常状态，以便及时处理：

- 实时显示分类任务进度条
- 变化检测热点地图
- 系统资源消耗热力图

## 8、效果评估与反馈迭代

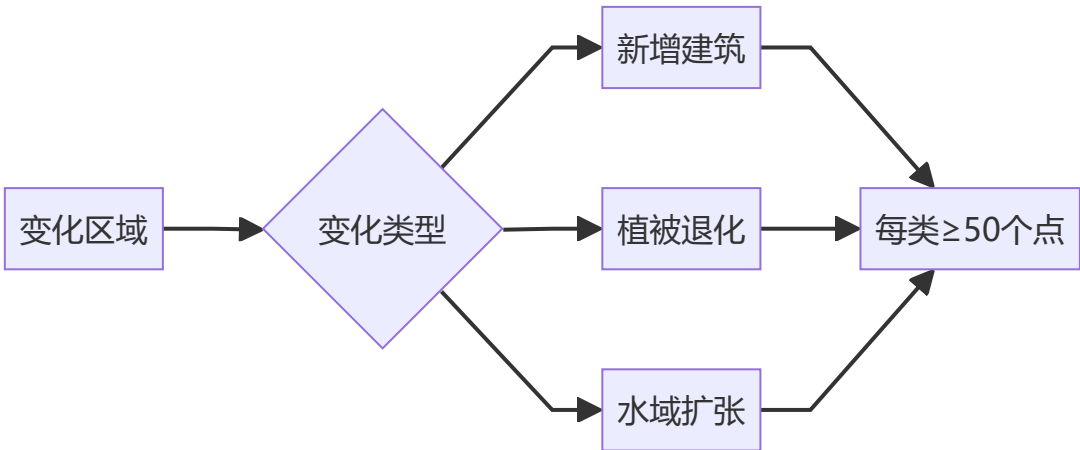
为了验证检测结果的可靠性，应结合地面调查和其他数据源进行反馈。比如在高程变化明显或人造设施密集地区，可能需要重点采集样本并重新训练。不断迭代这一反馈循环，使模型对不同区域和季节均保持较高性能。此外，可利用社交媒体、政府土地调查等辅助数据源作为验证参考。通过多源多层次的验证与反馈迭代，持续优化分类和变化检测结果，以满足环境监测机构的精度和时效需求。

### 8.1 多源验证体系

#### 8.1.1 地面验证方法

验证方式	实施工具	精度指标	成本
无人机航拍	DJI Phantom+RGB相机	0.1m分辨率	高
地面样方调查	ArcGIS Field Maps[7]	亚米级定位	中
众包数据	OpenStreetMap标注[8]	街区级精度	低

#### 8.1.2 验证点布设规范



## 8.2 误差溯源分析

典型问题处理方案：

错误类型	特征表现	优化措施
建筑-裸土混淆	纹理相似但光谱差异	增加NDBI与热红外特征
林地-灌木错分	季节变化导致光谱重叠	引入多时相物候特征
水域-阴影误判	反射率接近	结合DEM地形阴影校正

## 参考工具

[1] <https://developers.google.cn/earth-engine>

[2] <https://developers.google.com/earth-engine/datasets/catalog/landsat-8#:~:text=Landsat%2C%20a%20joint%20program%20of,USGS%20produces%20data%20in%203>

[3] <https://developers.google.com/earth-engine/datasets/catalog/sentinel-2#:~:text=Sentinel,vegetation%2C%20soil%2C%20and%20water%20cover>

[4] [https://developers.google.com/earth-engine/datasets/catalog/COPERNICUS\\_S1\\_GRD#:~:text=This%20collection%20contains%20all%20of,VV%20BVH%2C%20and%20dual%20band%20HH%20BHV](https://developers.google.com/earth-engine/datasets/catalog/COPERNICUS_S1_GRD#:~:text=This%20collection%20contains%20all%20of,VV%20BVH%2C%20and%20dual%20band%20HH%20BHV)

[5] <https://modis.gsfc.nasa.gov/data/#:~:text=The%20MODIS%20instrument%20is%20operating,250m%2C%20500m%2C%20and%201%2C000m>

[6] <https://www.usgs.gov/landsat-missions/landsat-collection-2-surface-reflectance#:~:text=Landsat%20Collection%202%20Surface%20Reflectance,surface%20to%20the%20Landsat%20sensor>

[7] <https://www.arcgis.com/index.html>

[8] <https://www.openstreetmap.org/>